

Conceptos básicos de Cristalografía y métodos de análisis

Fernando Aguado Menéndez

Grupo de Altas Presiones y Espectroscopía

*Departamento de Ciencias de la Tierra y Física de la
Materia Condensada*

Universidad de Cantabria



Índice

- Introducción. ¿Qué es la cristalografía?
- Un poco de historia
- Conceptos básicos
- Técnicas experimentales. DRX
- Estructuras

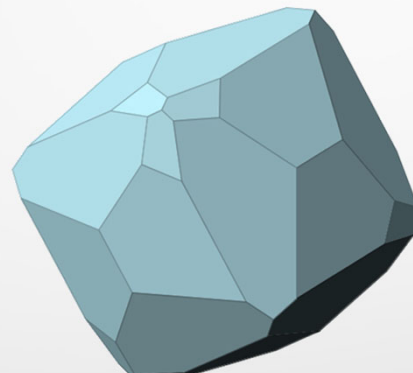
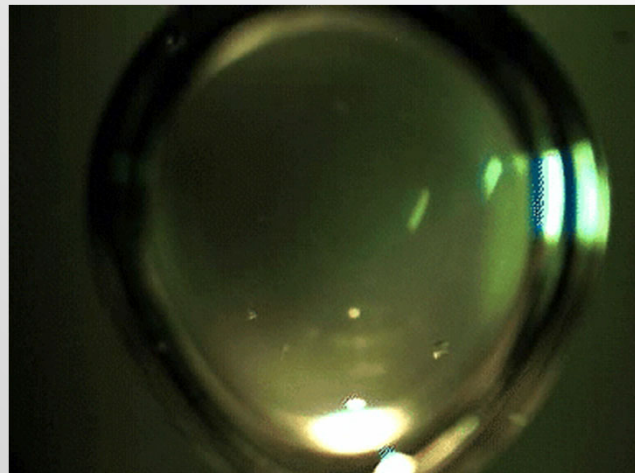
Definición de Cristalografía

cristalográfica

Del gr. κρύσταλλος *krýstallos* 'cristal' y -grafía.

1. f. Geol. Descripción de las formas que toman los cuerpos al cristalizar.

Diccionario RAE

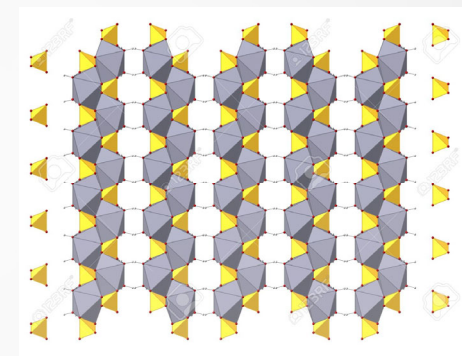


Hábitos cristalinos:
(Formas y caras)

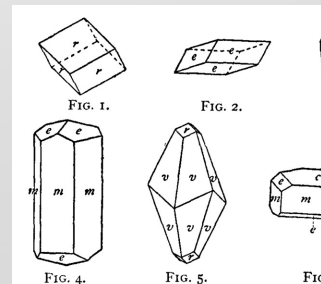
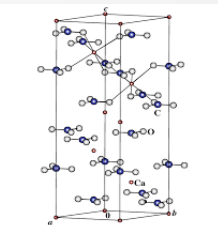


Definición de Cristalografía

Hábitos cristalinos. Estructura atómica vs. Condiciones



?



Definición de Cristalografía

cristalográfica

Del gr. κρύσταλλος *krýstallos* 'cristal' y *-grafía*.

1. f. Geol. Descripción de las formas que toman los cuerpos al cristalizar.

Diccionario RAE

Crystallography, branch of science that deals with **discerning the arrangement and bonding of atoms in crystalline solids** and with the geometric structure of crystal lattices. Classically, the optical properties of crystals were of value in mineralogy and chemistry for the identification of substances. **Modern crystallography is largely based on the analysis of the diffraction of X-rays by crystals acting as optical gratings**. Using X-ray crystallography, chemists are able to determine the internal structures and bonding arrangements of minerals and molecules, **including the structures of large complex molecules, such as proteins and DNA**.

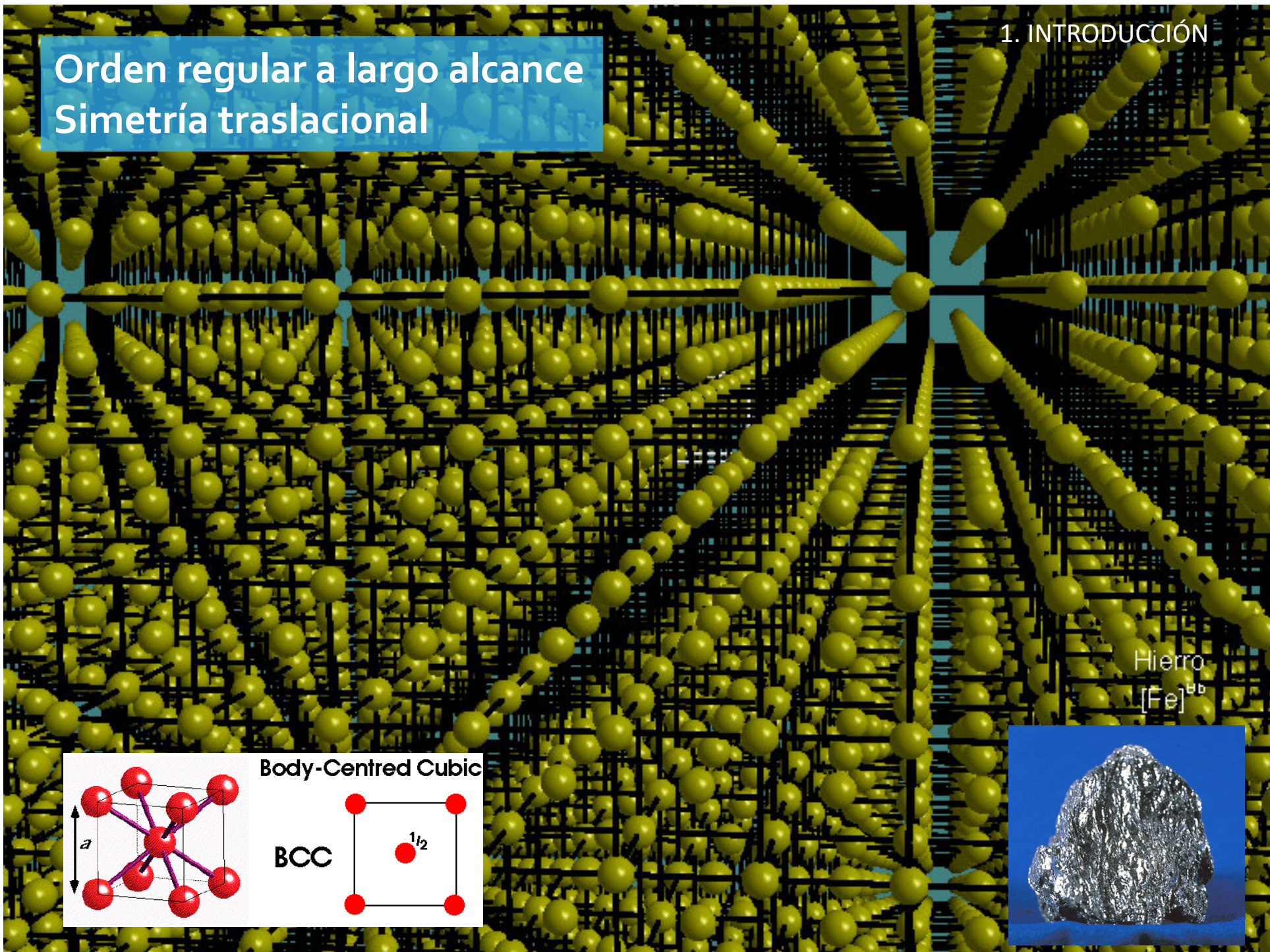
Encyclopedia Britannica

Definición de Cristalografía: Cristal

“... A **Crystal** consists of atoms arranged in a pattern that repeats periodically in three dimensions....”

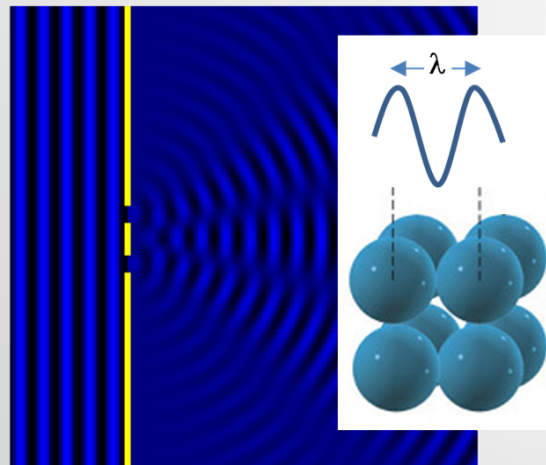
*C.S. Barret, Structure of Metals. McGraw-Hill
(1952)*

Orden regular a largo alcance Simetría translacional

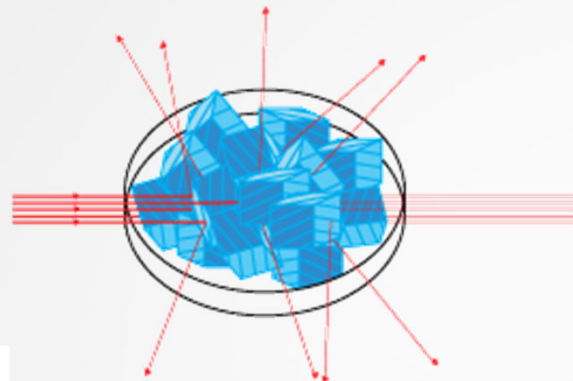


1. INTRODUCCIÓN

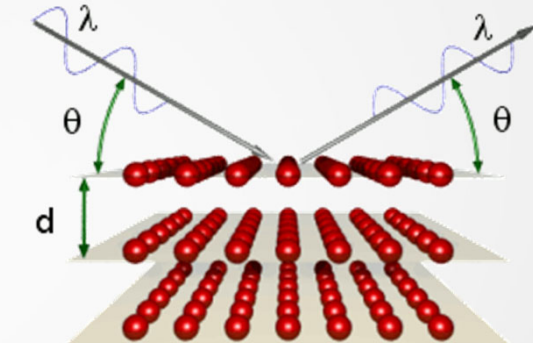
Difracción de rayos X : Proceso de interacción LUZ- MATERIA



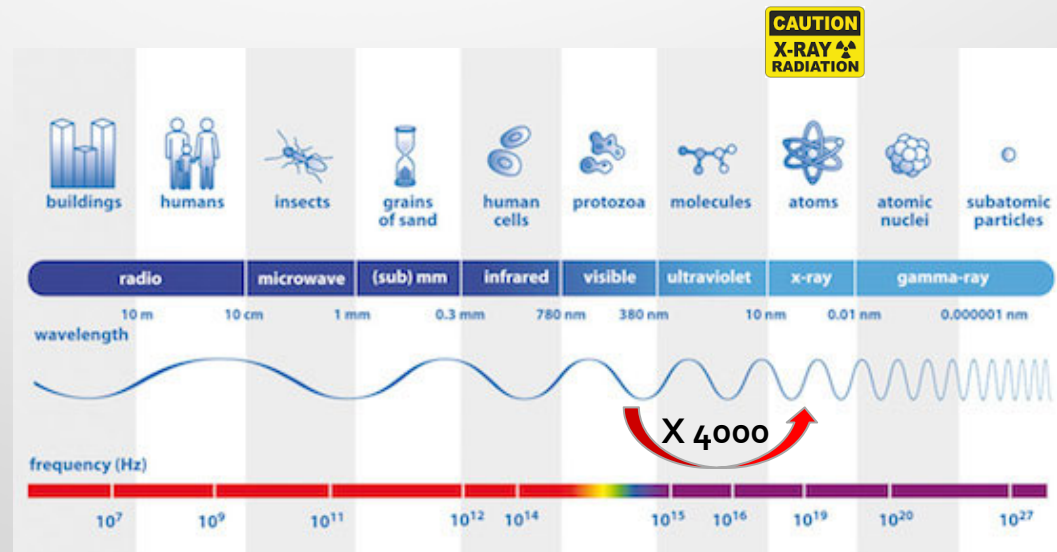
Difracción de la luz



Difracción en un sólido



Difracción de RX por
un planos cristalinos



Definición de Cristalografía: Cristal

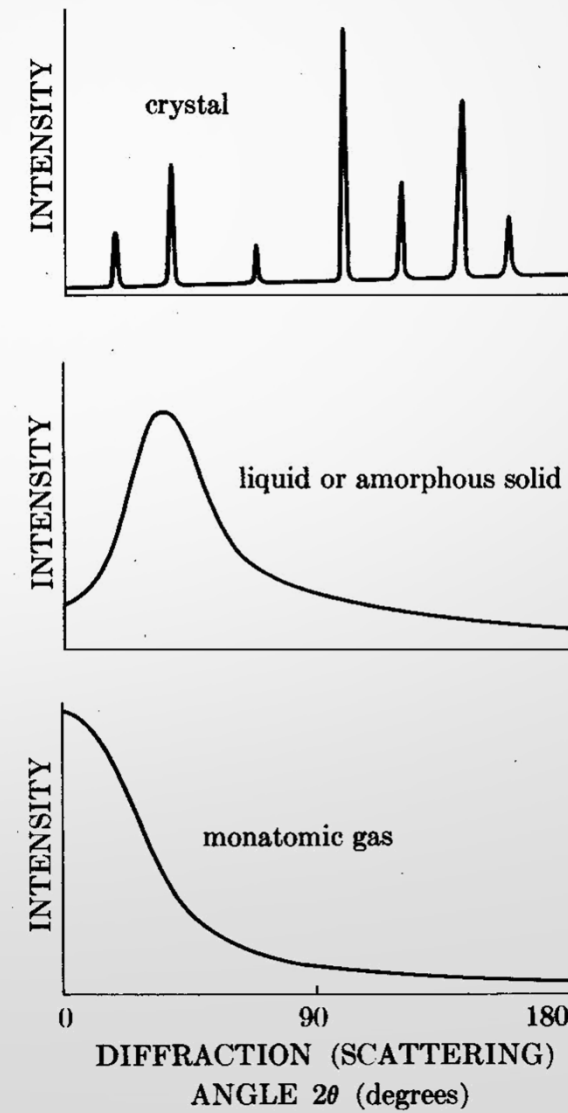
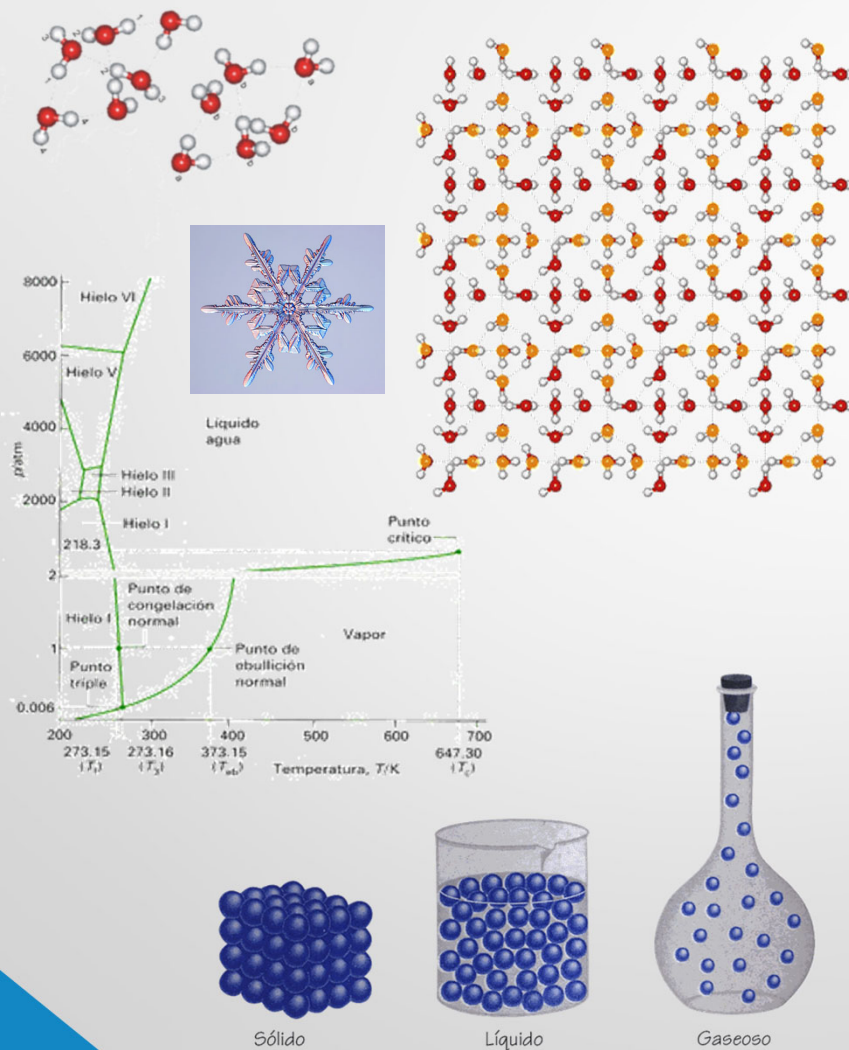
“... A **Crystal** consists of atoms arranged in a pattern that repeats periodically in three dimensions....”

C.S. Barret, *Structure of Metals*. McGraw-Hill
(1952)

Crystal A material is a crystal if it has essentially **a sharp diffraction pattern**. The word essentially means that most of the intensity of the diffraction is concentrated in relatively sharp **Bragg peaks**, besides the always present diffuse scattering.

IUCR Online dictionary

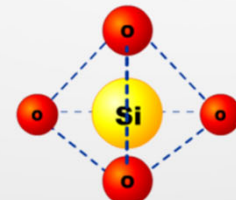
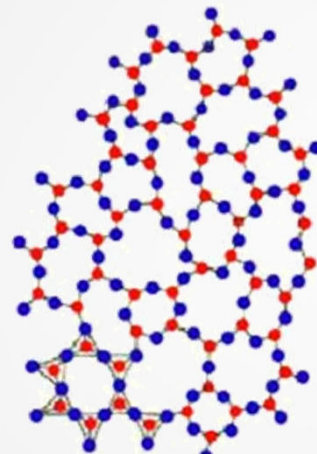
Definición de Cristalografía. Sólido Cristalino



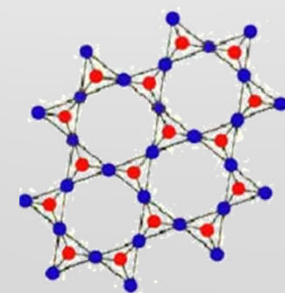
Definición de Cristalografía: Cristal



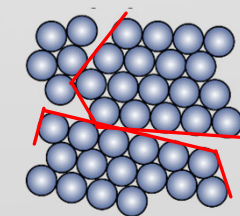
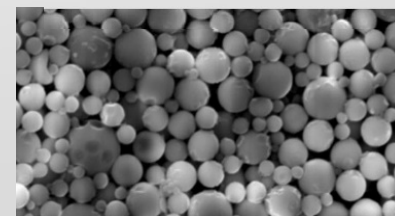
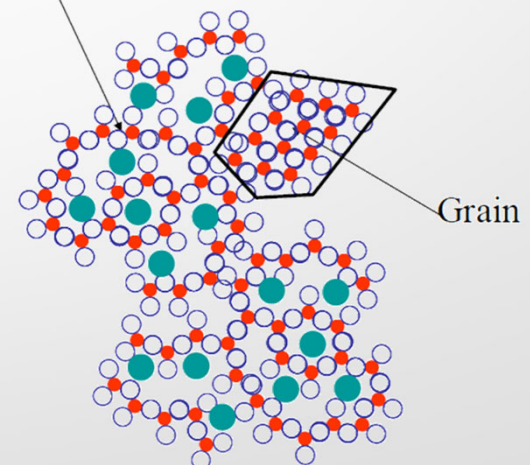
Amorphous SiO₂
(Glass)



Crystalline SiO₂
(Quartz)



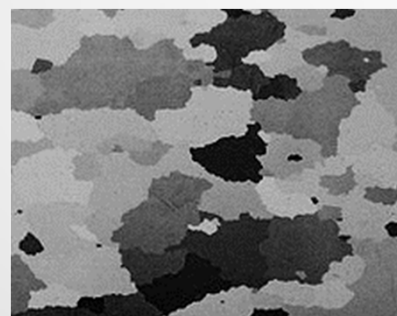
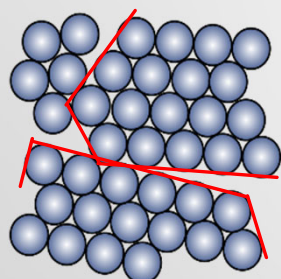
Glass



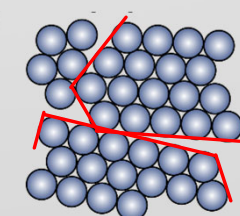
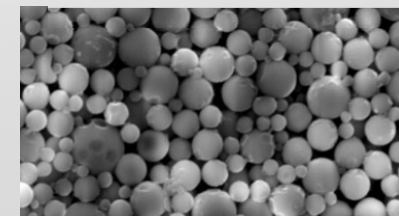
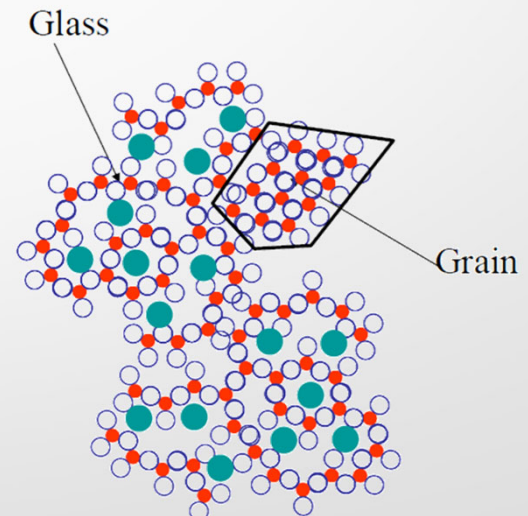
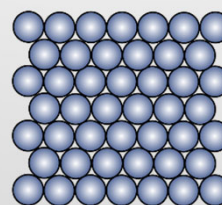
Definición de Cristalografía: Cristal



Policristal

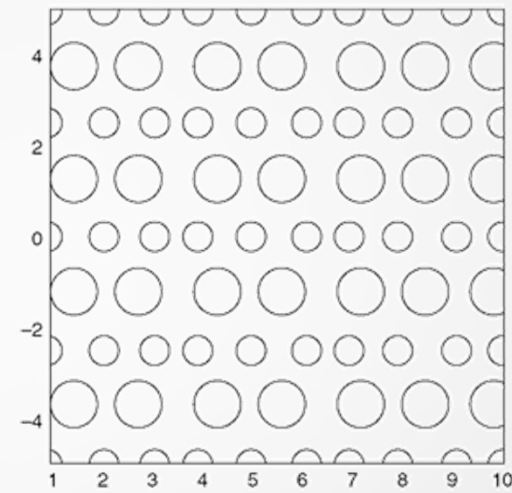
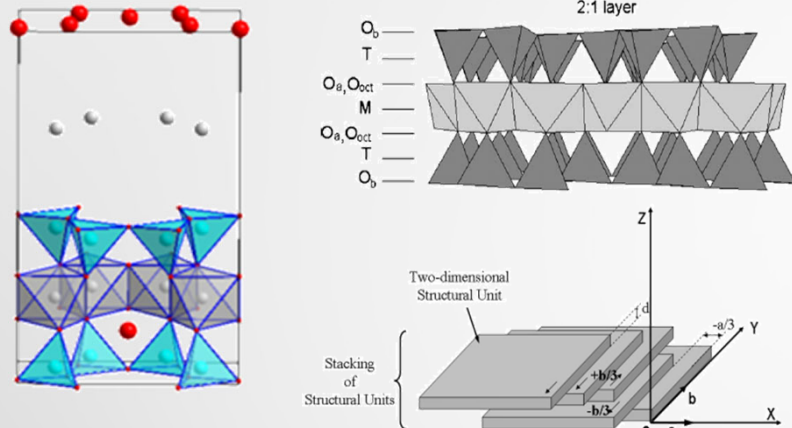


Monocristal

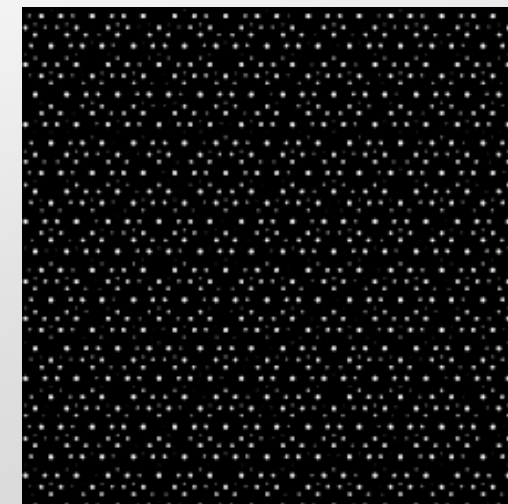
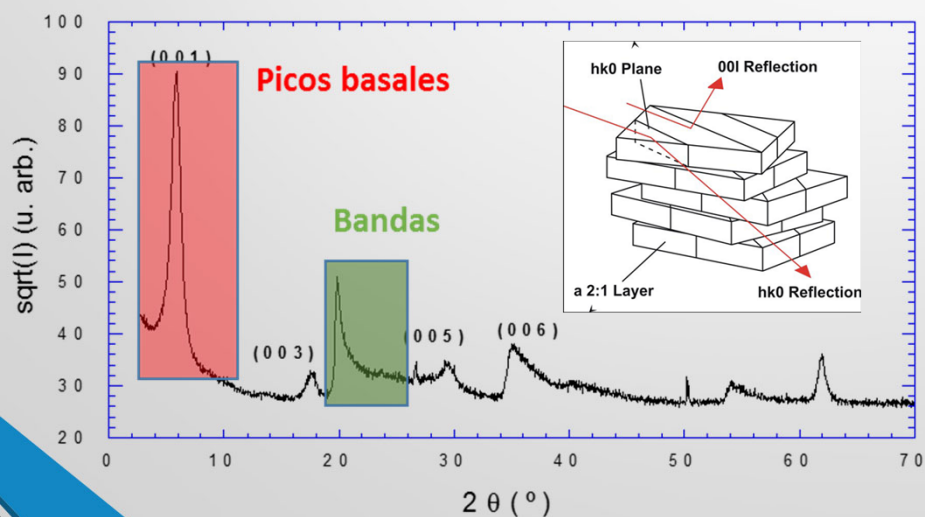


Definición de Cristalografía: Cristal

Arcillas: Sistemas “desordenados”



Estructura incommensurable

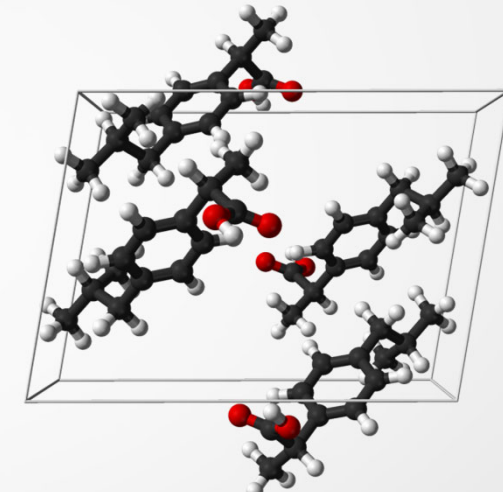
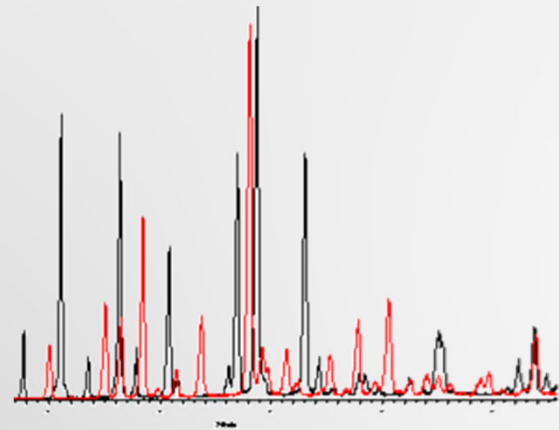


Cuasicristales

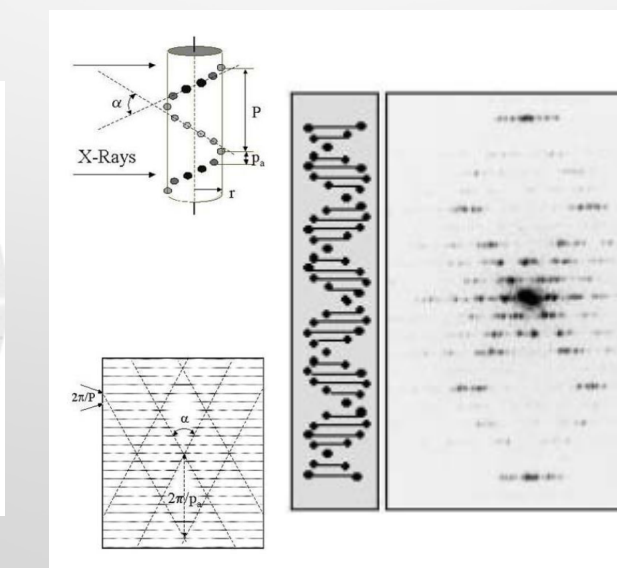
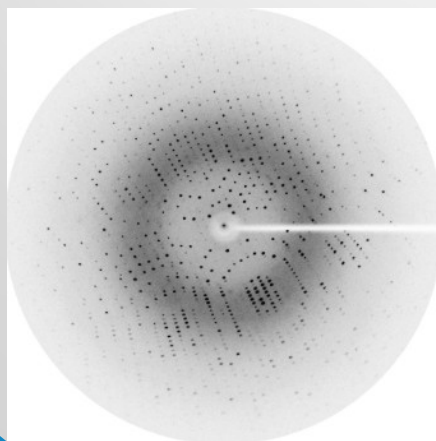
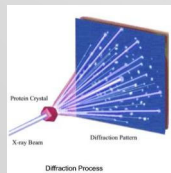
1. INTRODUCCIÓN

Definición de Cristalografía: Cristal

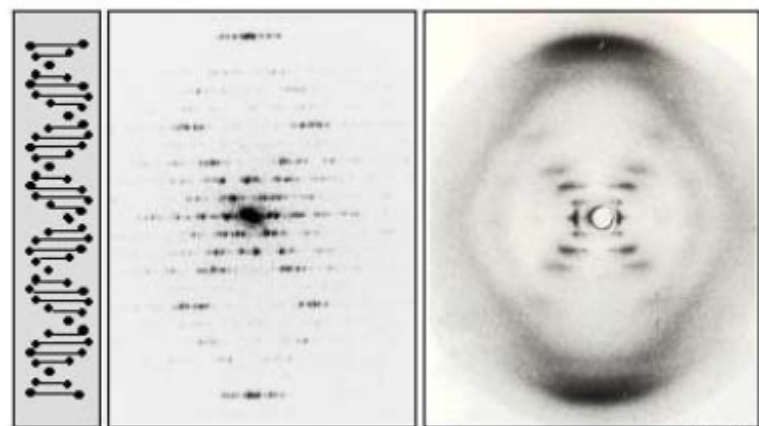
Acetaminophen (Paracetamol)



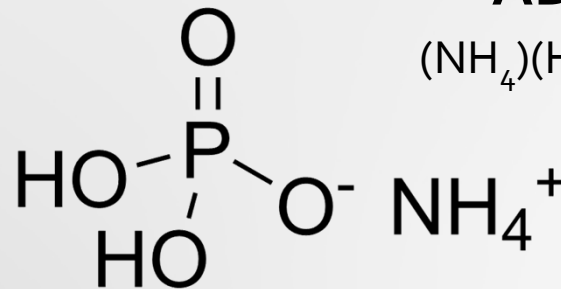
Proteina AtHAL3



B-DNA

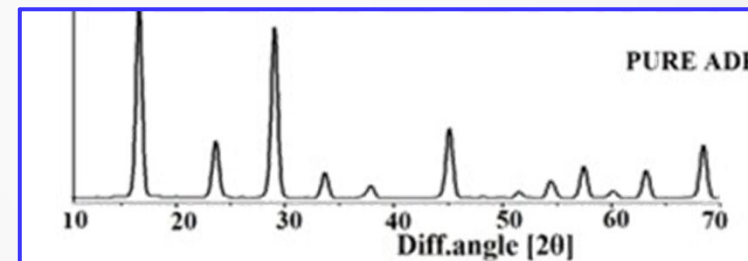


Definición de Cristalografía: Cristal

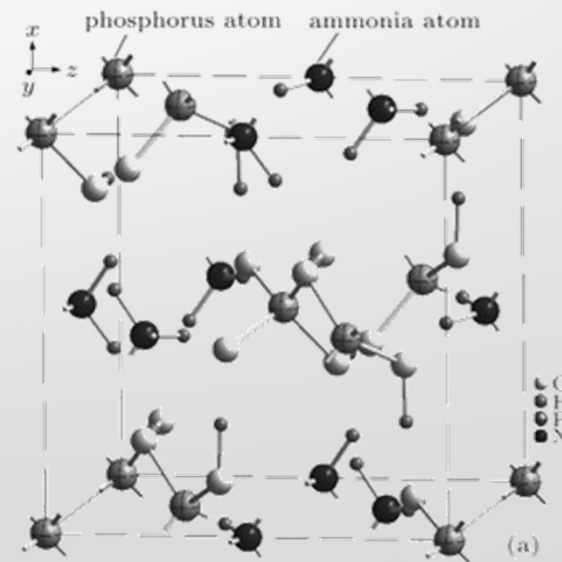


ADP
 $(\text{NH}_4)(\text{H}_2\text{PO}_4)$

Fosfato monoamónico
 dihidrógeno fosfato de amonio



No confundir con Adenosin difosfato!



¿Por qué la Cristalografía?

Structural characterization

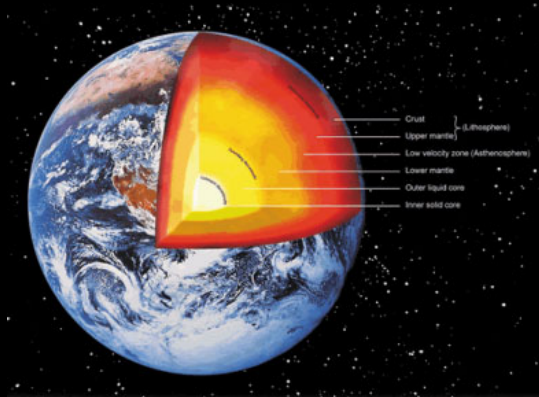
*Why do we need to determine
crystal structures ?*

- To **categorize** unknown **compounds**
- To **rationalize structures** / Understanding of bases
- To **establish correlations** between structure and properties

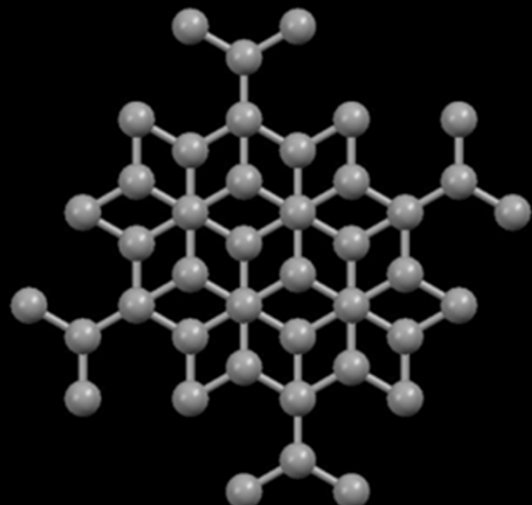
Formas alotrópicas del Carbono. Relación estructura-propiedades



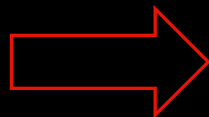
Grafito



Diamante

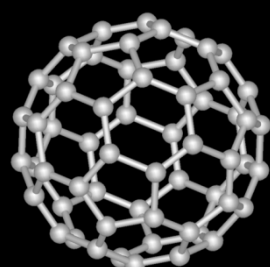


Alta Presión
Alta Temperatura

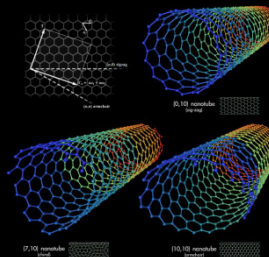


Structure Hexagonal
Space Group $P6_3mc$ (No. 186)
 $a=2.4700 \text{ \AA}$, $b=2.4700 \text{ \AA}$, $c=6.7900 \text{ \AA}$
 $\alpha=\beta=90.00$, $\gamma=120.00$
 $Z=4$

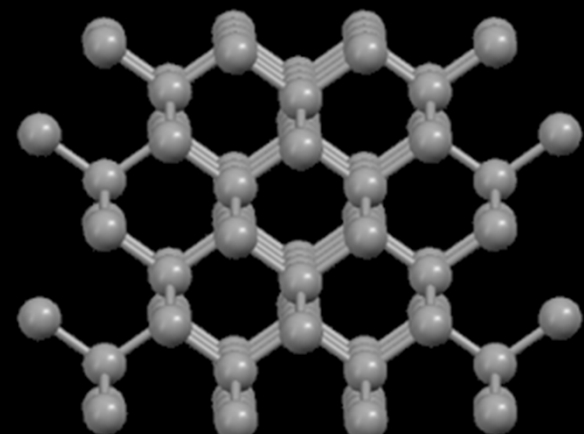
Fulerenos



Nanotubos

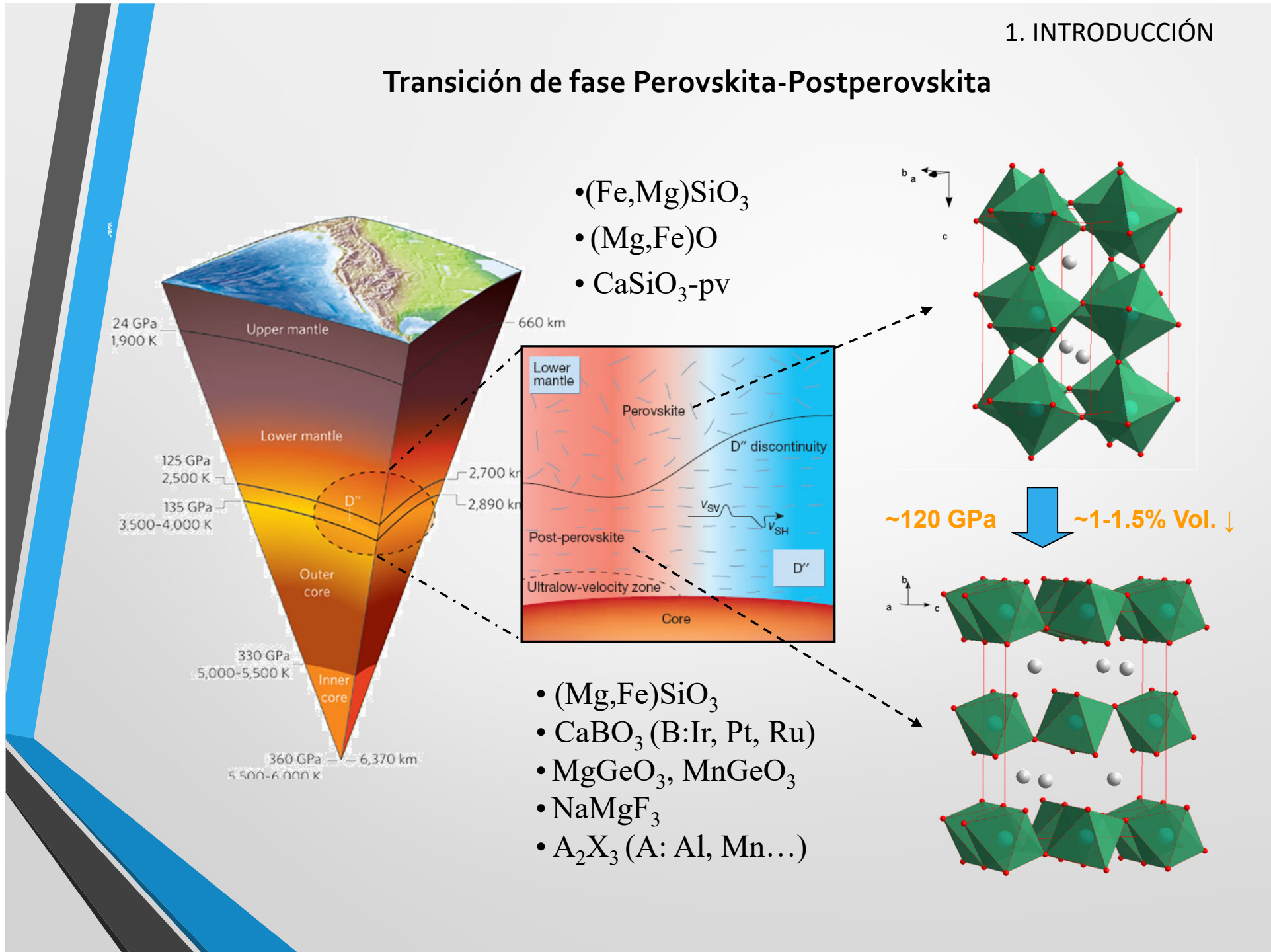


Structure Cubic
Space Group $Fd\bar{3}m$ (No. 227)
 $a=3.5668 \text{ \AA}$
 $Z=8$



1. INTRODUCCIÓN

Transición de fase Perovskita-Postperovskita

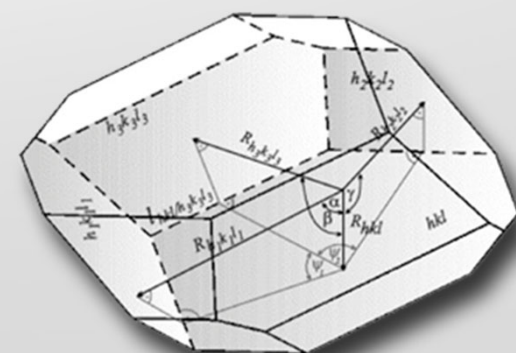
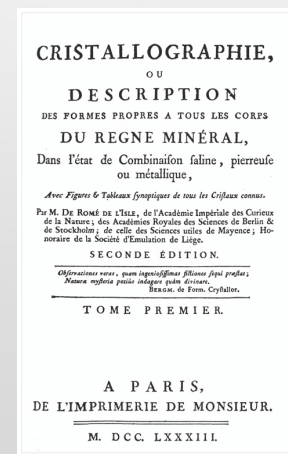
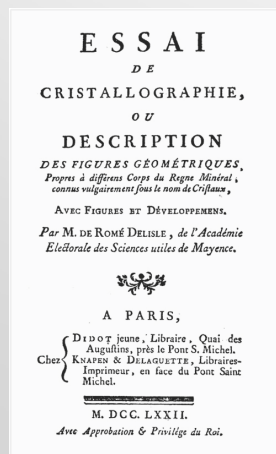


“Prehistoria”: de Teofrasto a Schoenflies

Jean Baptiste Louis Romé de l'Isle (1736 – 1790)



- “La idea de los gérmenes no se puede utilizar para explicar la formación de cristales. Es necesario suponer que las moléculas integrantes, tiene una figura constante determinada...”
- Los cristales de la misma naturaleza química derivan todos de una **forma primitiva común**.
- Basándose en los trabajos previos de Nicolás Steno (1638-1686) elaboró su **Ley de la Constancia de Ángulos Interfaciales**.



"Prehistoria": de Teofrasto a Schoenflies

René Just Haüy (1743-1822)

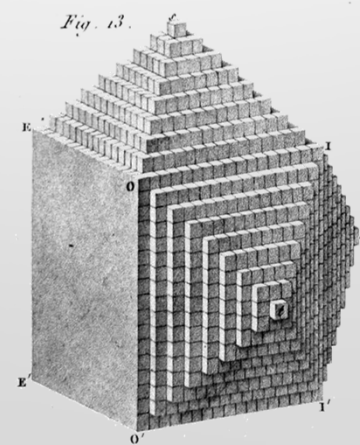
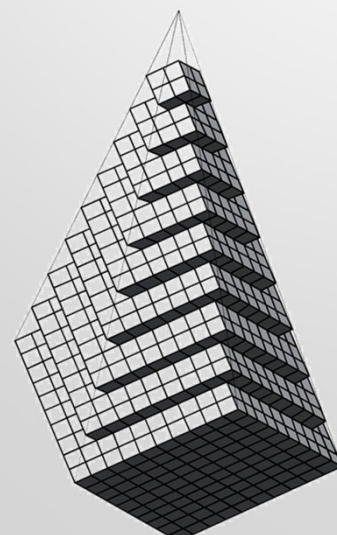


Fig. 13.

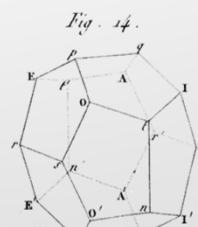


Fig. 14.

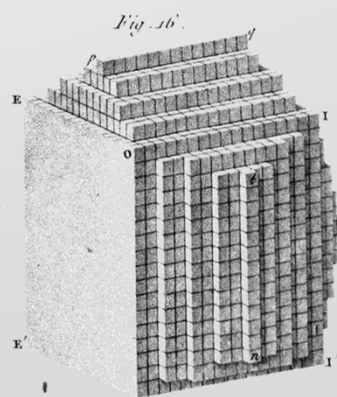


Fig. 16.

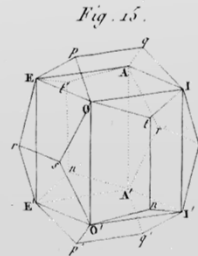
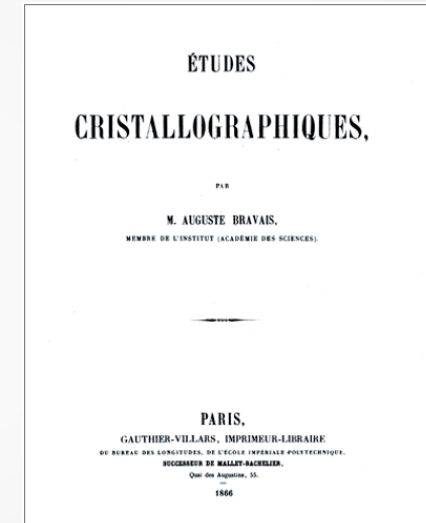
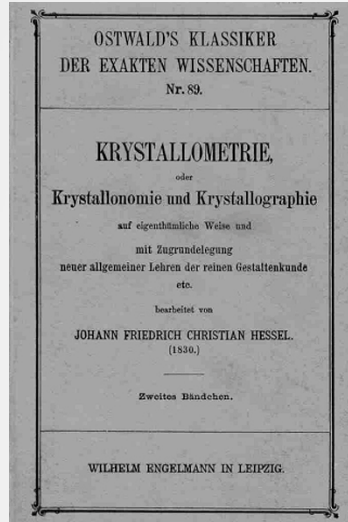


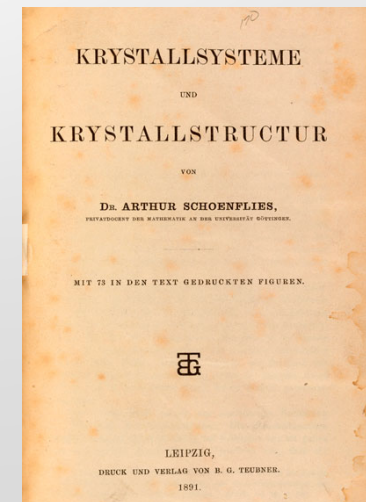
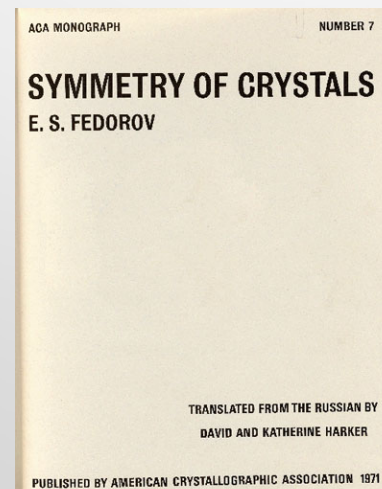
Fig. 15.

"Prehistoria": de Teofrasto a Schoenflies



[Johann Friedrich Christian Hessel \(1796-1872\)](#)

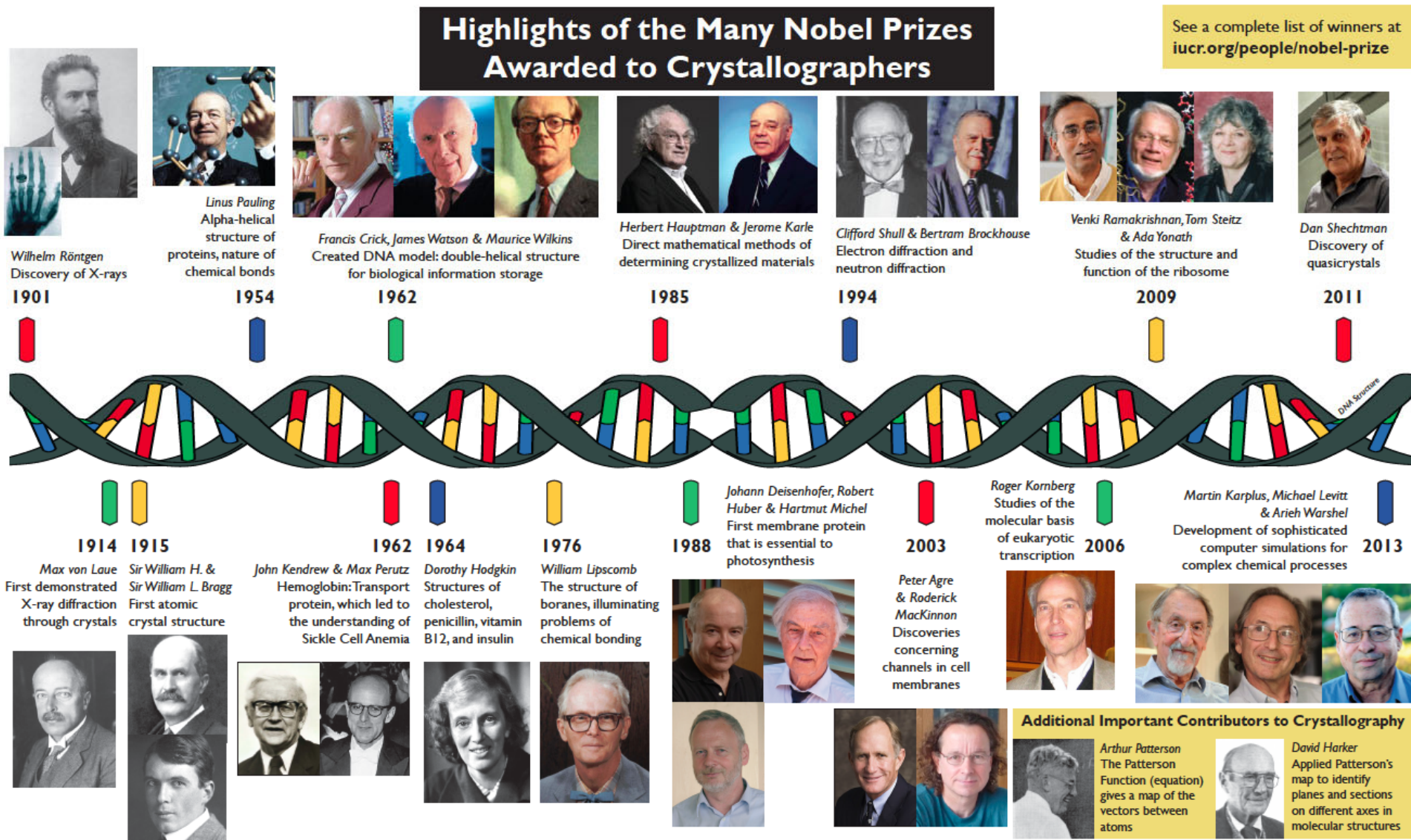
[August Bravais \(1811-1863\)](#)



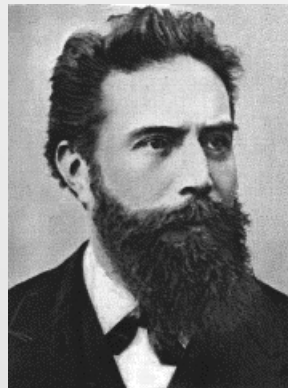
[Evgraf S. Fedorov \(1853-1919\)](#)

[Arthur Schoenflies \(1853-1928\)](#)

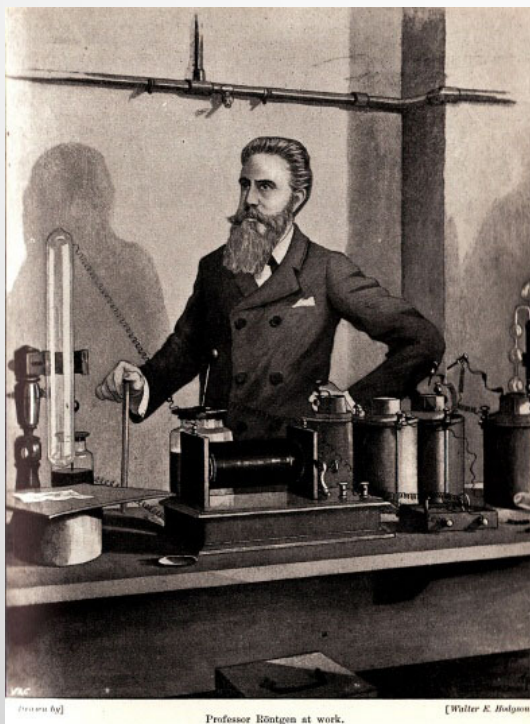
Cristalografía moderna: de los Bragg a Shechtman



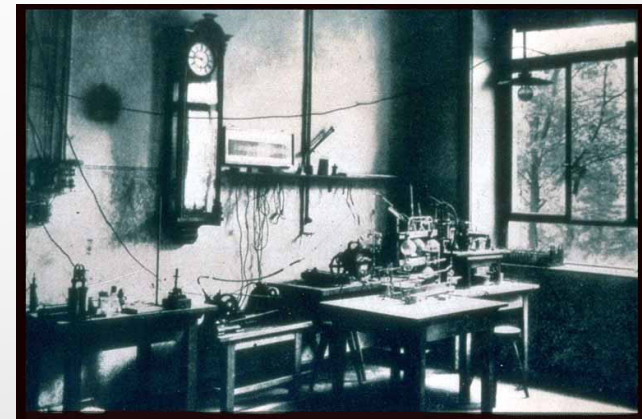
Cristalografía moderna: de los Bragg a Shechtman



Wilhem C. Röntgen



Premio Nobel, 1901 "in recognition of the extraordinary services he has rendered by the discovery of the remarkable rays subsequently named after him"



Laboratorio de Roentgen en Wurzburg



Tubo de rayos X utilizado por Roentgen

Cristalografía moderna: de los Bragg a Shechtman

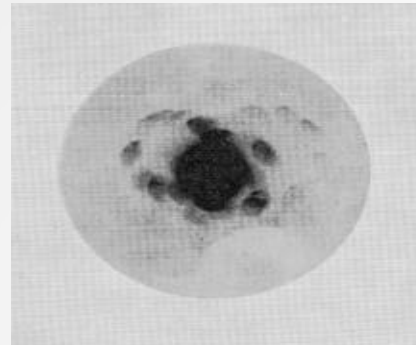


Max von Laue

Premio Nobel, 1914 "for his discovery of the diffraction of X-rays by crystals".



Paul P. Ewald



Primera imagen de difracción por un cristal

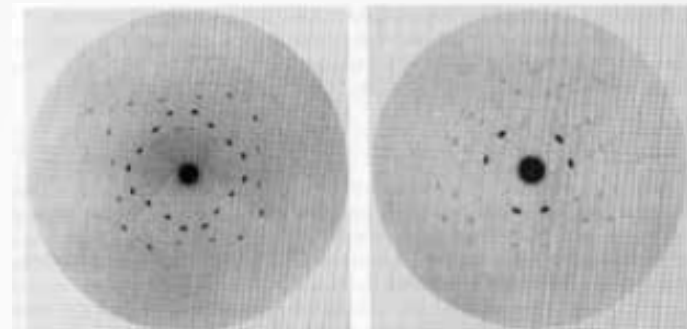
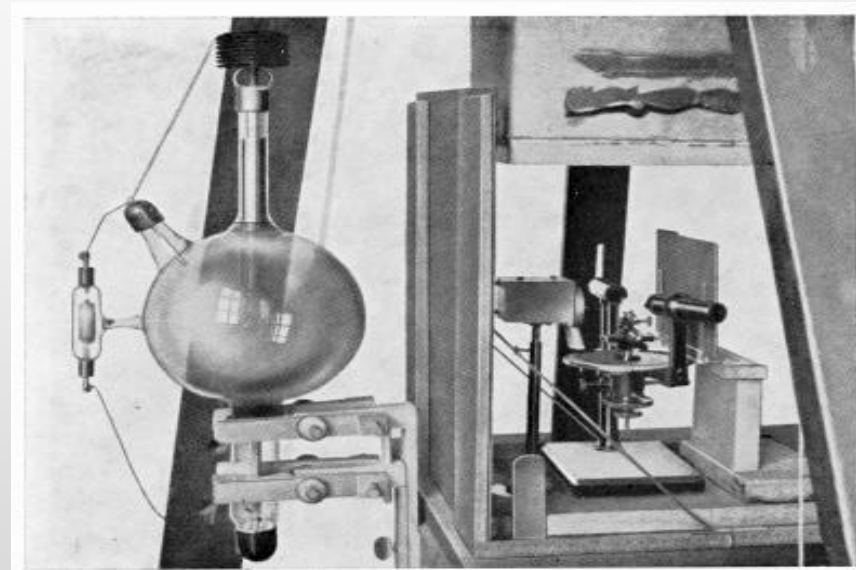
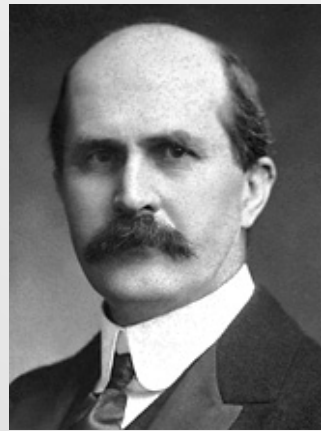


Imagen de difracción de cristales de Zinc blenda (ZnS)

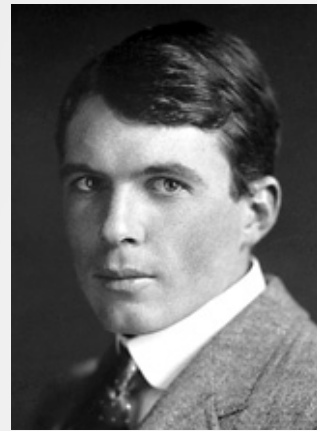


Dispositivo experimental utilizado por Friedrich y Knipping, asistentes de Laue

Cristalografía moderna: de los Bragg a Shechtman

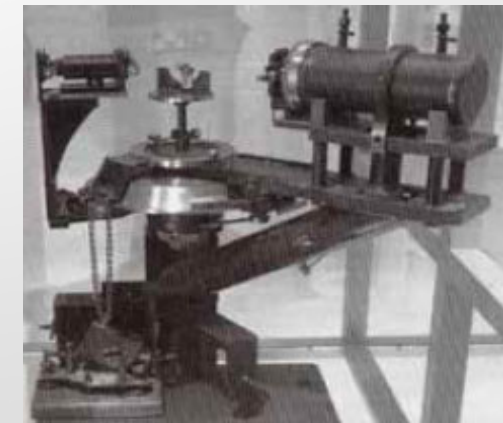
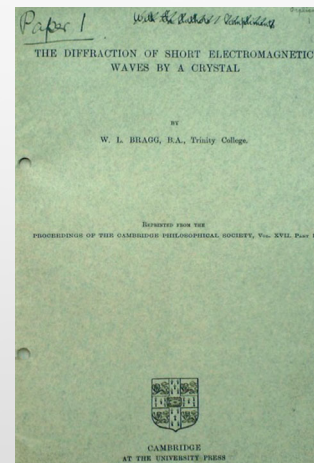
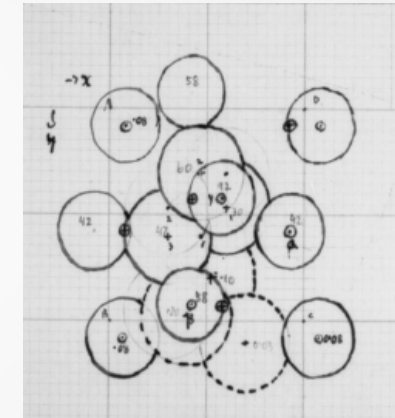
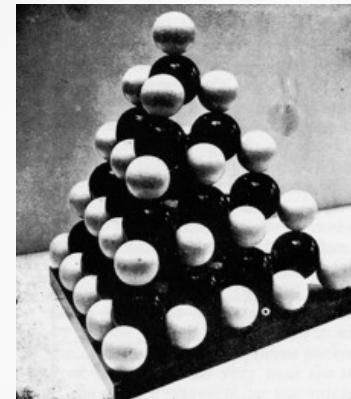
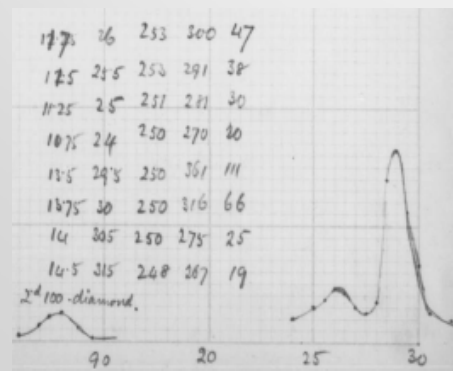


William Henry
Bragg



William Lawrence

Premio Nobel, 1915 "for their services in the analysis of crystal structure by means of X-rays".

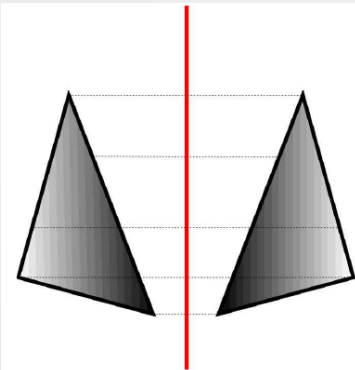


$$n\lambda = 2d \sin \vartheta$$

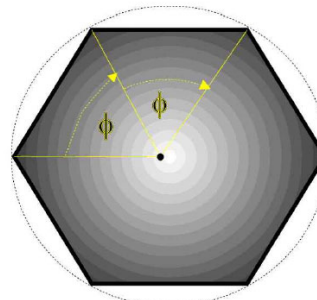
Espectrómetro de ionización de Rayos X, antecesor de los difractómetros modernos

3. CONCEPTOS BÁSICOS

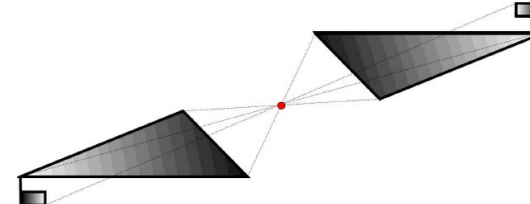
SIMETRÍA : Elementos básicos



Planos especulares



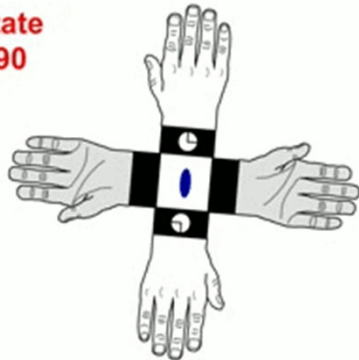
Ejes de rotación



Centro de Inversión

Elementos de simetría puntual

Rotate
by 90



Rotación impropia



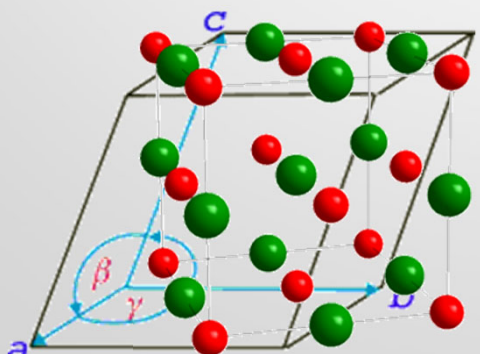
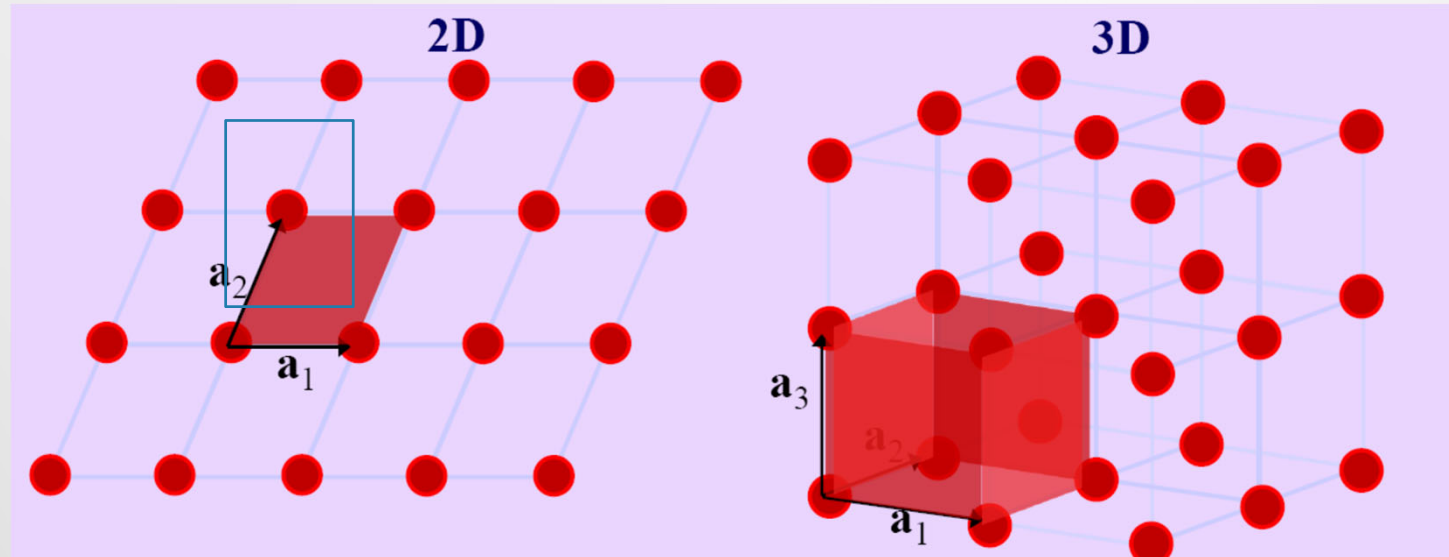
Eje helicoidal (o2)



Plano de deslizamiento

Elementos de simetría espacial

Concepto de Celda Unidad. Celda asímetrica



Generación de la celda unidad a partir de las operaciones de simetría

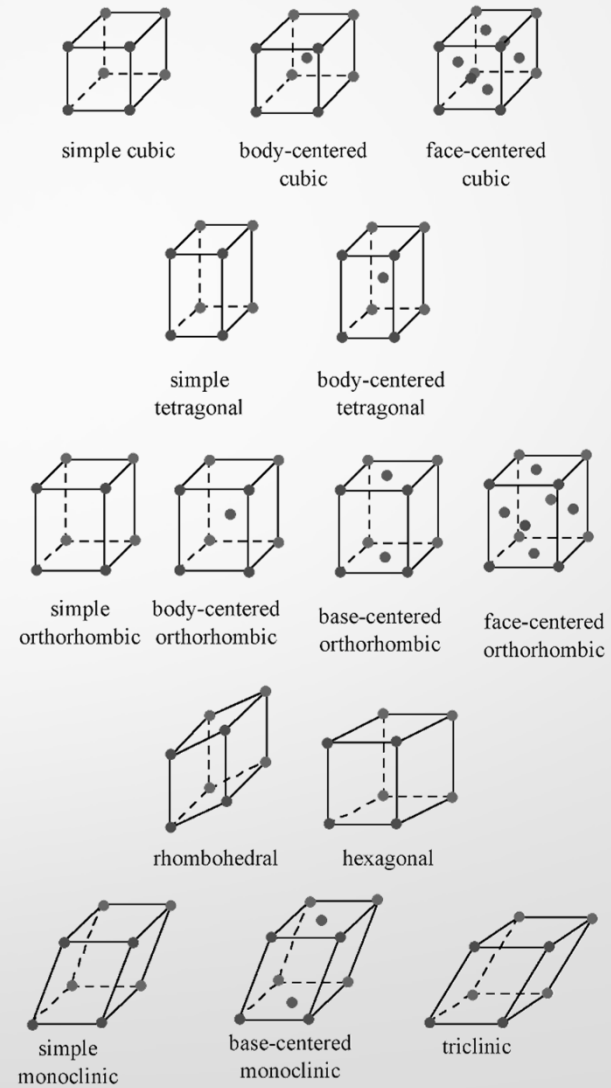
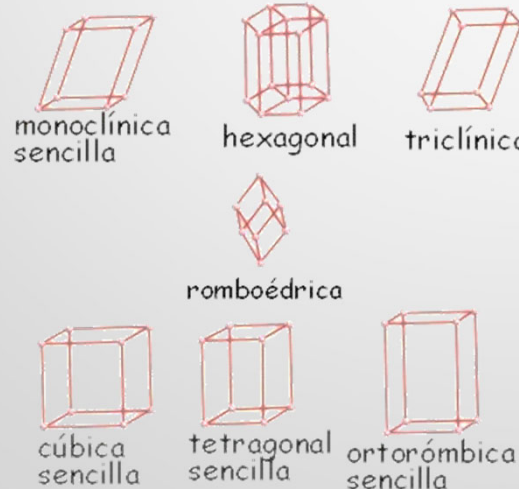
Descripción de la celda unidad:

- Dimensiones ($a, b, c, \alpha, \beta, \gamma$)
- Motivo: Atómos y coordenadas
- Factores de vibración
- Ocupación

3. CONCEPTOS BÁSICOS

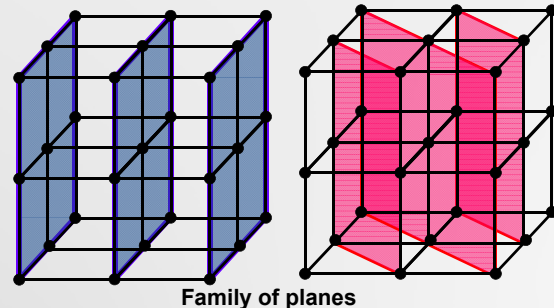
SIMETRÍA : Elementos básicos

System	Defining symmetry	Unit cell geometry
Triclinic	Only translational	$a \neq b \neq c ; \alpha \neq \beta \neq \gamma$
Monoclinic	One diad parallel to [010] or/and one mirror plane perpendicular to [010]	$a \neq b \neq c ; \alpha = \gamma = 90^\circ ; \beta > 90^\circ$
Orthorhombic	Each axis should be parallel to a diad or/and perpendicular to a mirror plane	$a \neq b \neq c ; \alpha = \beta = \gamma = 90^\circ$
Trigonal	One triad parallel to [001]	$a = b \neq c ; \alpha = \beta = 90^\circ ; \gamma = 120^\circ$
Hexagonal	One hexad parallel to [001]	$a = b \neq c ; \alpha = \beta = 90^\circ ; \gamma = 120^\circ$
Tetragonal	One tetrad parallel to [001]	$a = b \neq c ; \alpha = \beta = \gamma = 90^\circ$
Cubic	Four triads parallel to <111>	$a = b = c ; \alpha = \beta = \gamma = 90^\circ$

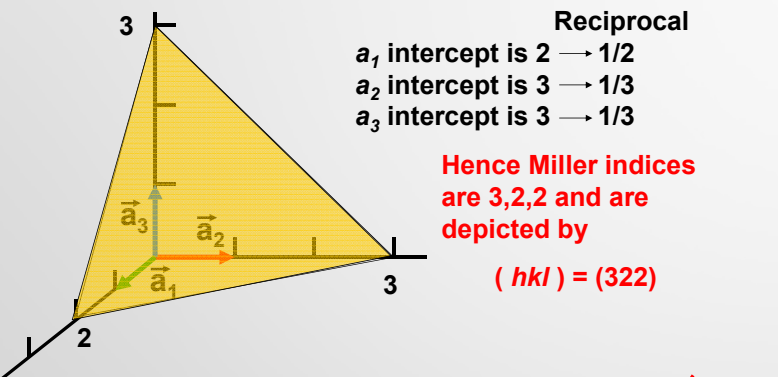


7 sistemas cristalinos, 14 redes de Bravais
32 clases cristalinas, 230 grupos de espacio

Planos cristalinos. Índices de Miller

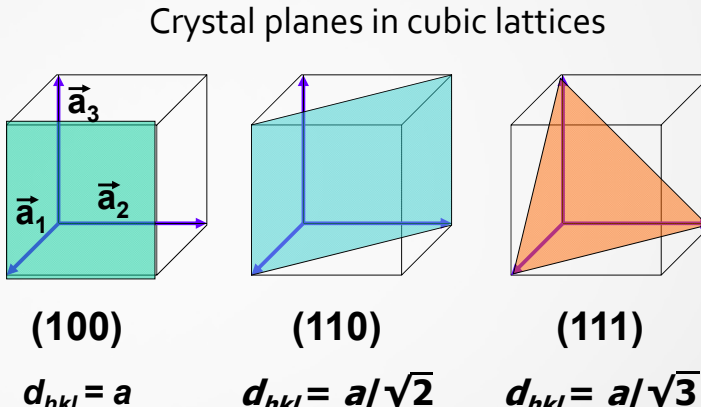
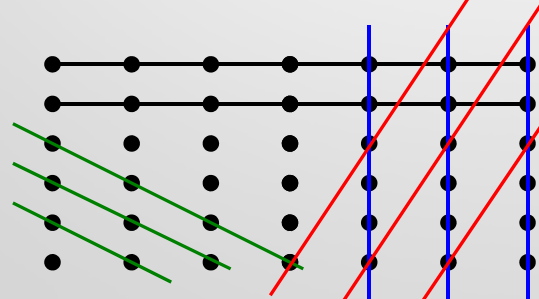


Family of planes



Reciprocal
 a_1 intercept is 2 → 1/2
 a_2 intercept is 3 → 1/3
 a_3 intercept is 3 → 1/3

Hence Miller indices
 are 3,2,2 and are
 depicted by
 $(hkl) = (322)$



(100)

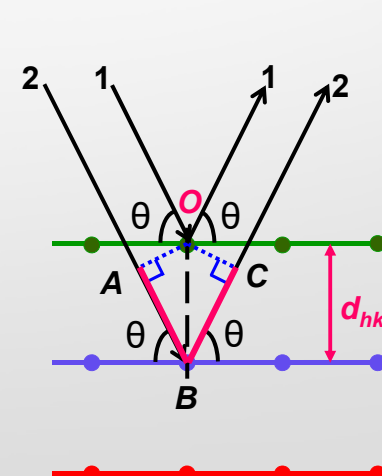
(110)

(111)

$$d_{hkl} = a$$

$$d_{hkl} = a/\sqrt{2}$$

$$d_{hkl} = a/\sqrt{3}$$



Rays 1 and 2 interfere constructively if Total Path Difference is integral multiple of the wavelength, λ

Total p.d. = $AB + BC$

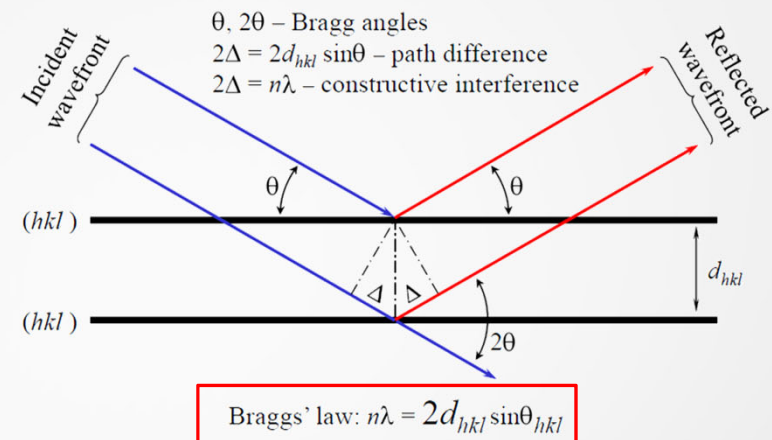
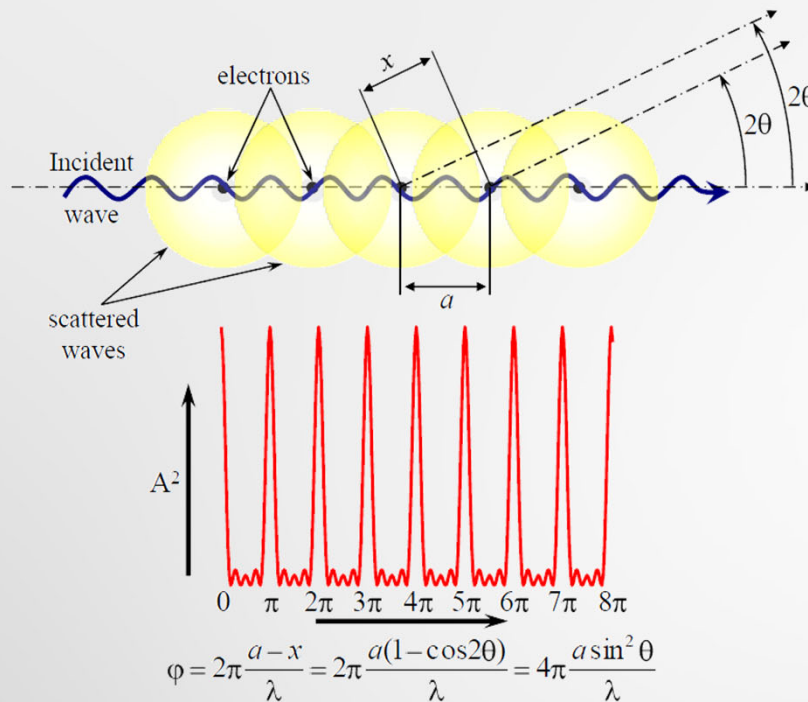
$\triangle OAB$ and $\triangle OCB$ are equivalent.

$$\therefore AB = BC = d_{hkl} \sin\theta$$

Diffraction condition is:
 $2 d_{hkl} \sin\theta = n \lambda$

4. TÉCNICAS EXPERIMENTALES

Fundamentos de difracción



LEY DE BRAGG

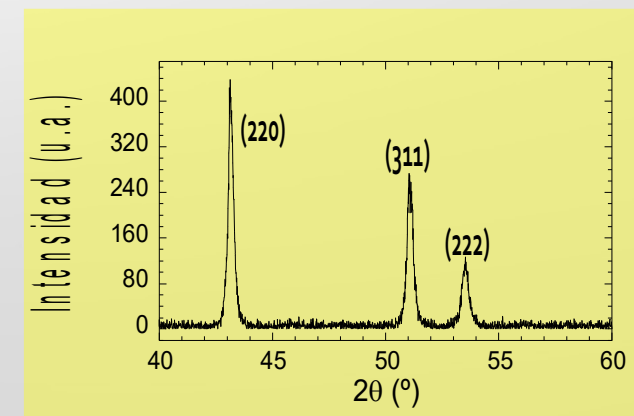
Relación entre la distancia interplanar, la longitud de onda de los RX y el ángulo de difracción en el que se observa la condición de máximo para la interferencia (constructiva).

Intensidad de difracción

$$I(\phi) \propto f^2(\phi) \frac{\sin^2 N\phi}{\sin^2 \phi} \quad \text{Factor de Scattering atómico}$$

Factor de Estructura

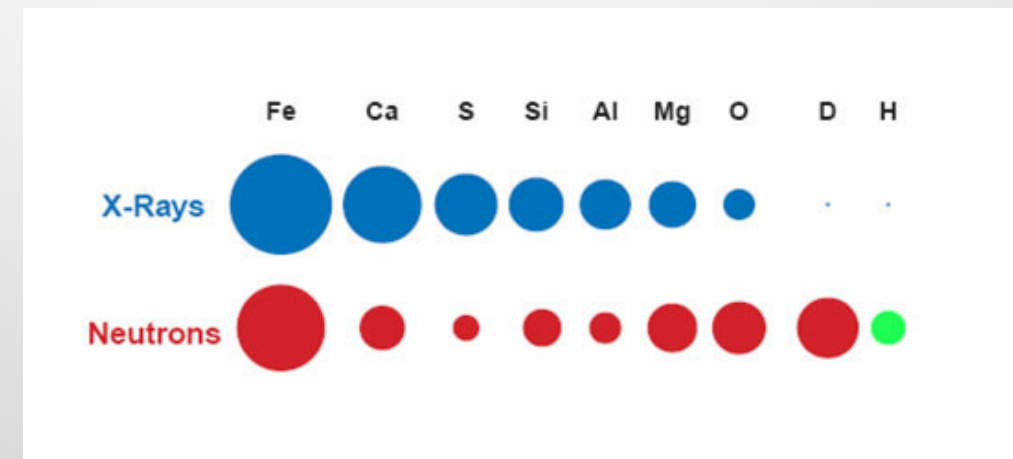
$$I(hkl) \propto F^2(hkl) \frac{\sin^2 U_1 h \pi}{\sin^2 h \pi} \frac{\sin^2 U_2 k \pi}{\sin^2 k \pi} \frac{\sin^2 U_3 l \pi}{\sin^2 l \pi} \quad \text{Factor de Estructura}$$



Difracción. Técnicas experimentales

Técnicas de difracción convencionales para el análisis estructural

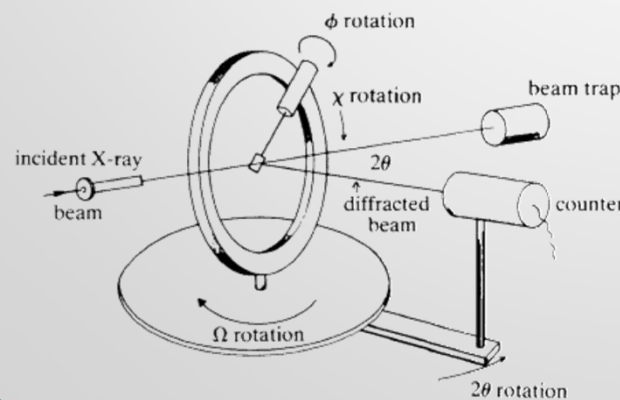
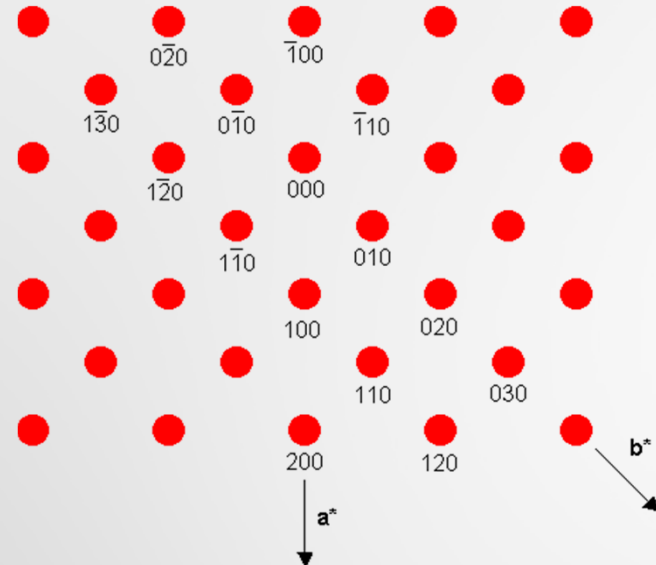
- **Polvo** (muestras policristalinas)
 - Difracción de neutrones (NPD)
 - Difracción de rayos X (XRD)
 - Difracción de electrones (ED)
- **Monocristal** (Todas las fuentes)



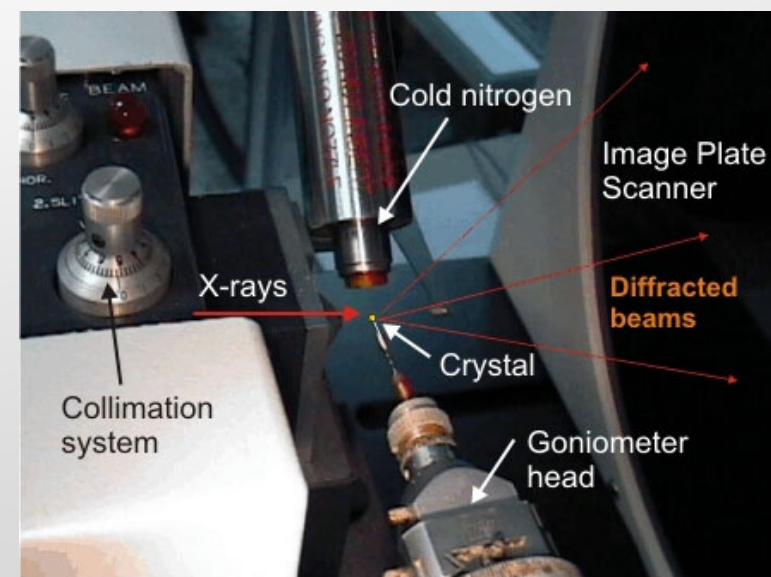
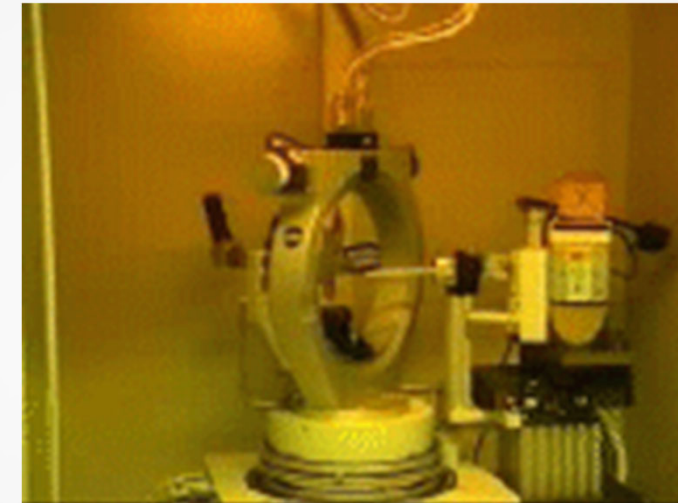
Difracción. Técnicas experimentales

	Rayos x Laboratorio	Rayos x Sincrotrón	Neutrones
Intensidad		✓	
Resolución	✓	✓	
Problemas Absorción	↓ λ / reflexión	↓ λ / reflexión	✓
Discrim. átomos			✓
Atomos ligeros			✓
Muestras pequeñas	✓	✓	
Disponibilidad	✓ ✓ ✓		

Difracción de rayos X en monocrystal

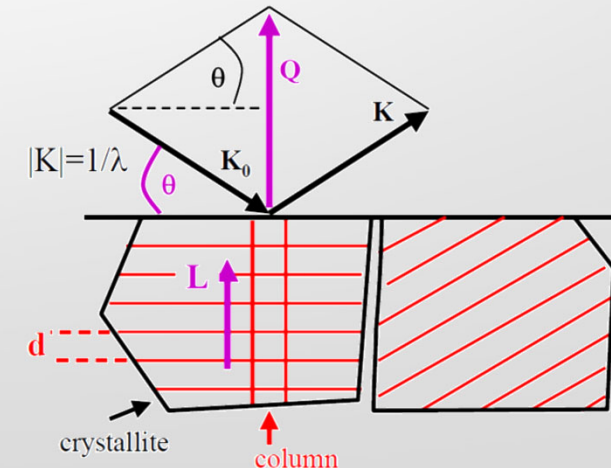
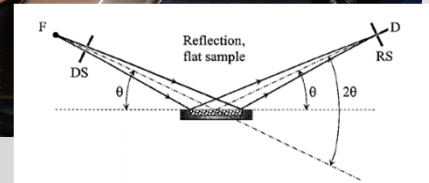
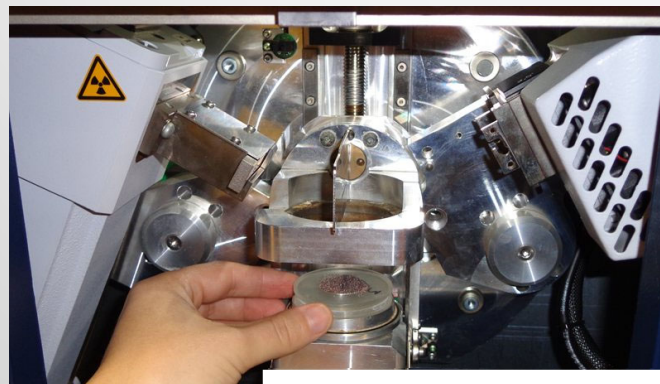
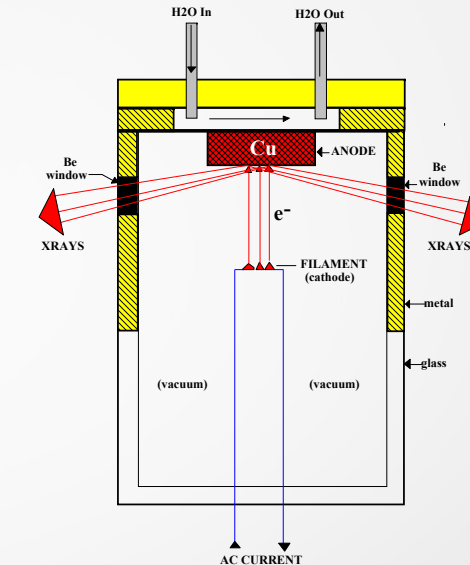
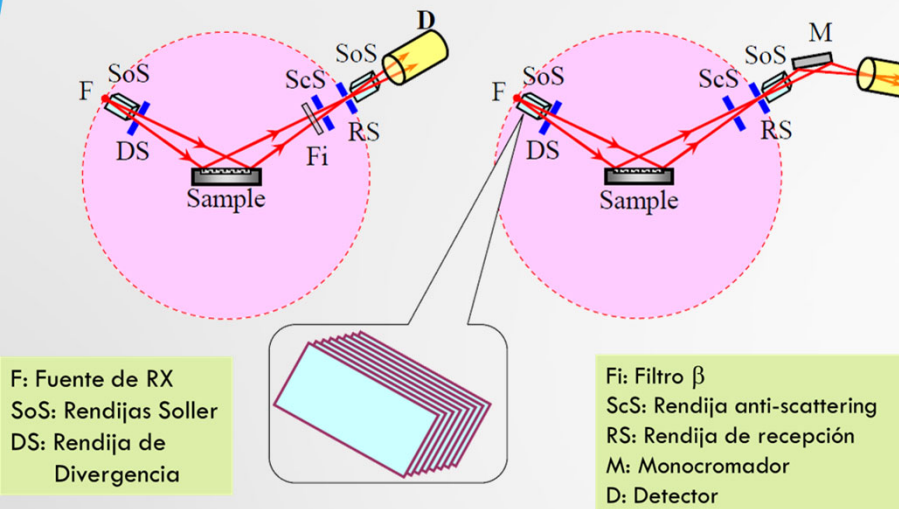


Esquema de un difractómetro de 4 círculos



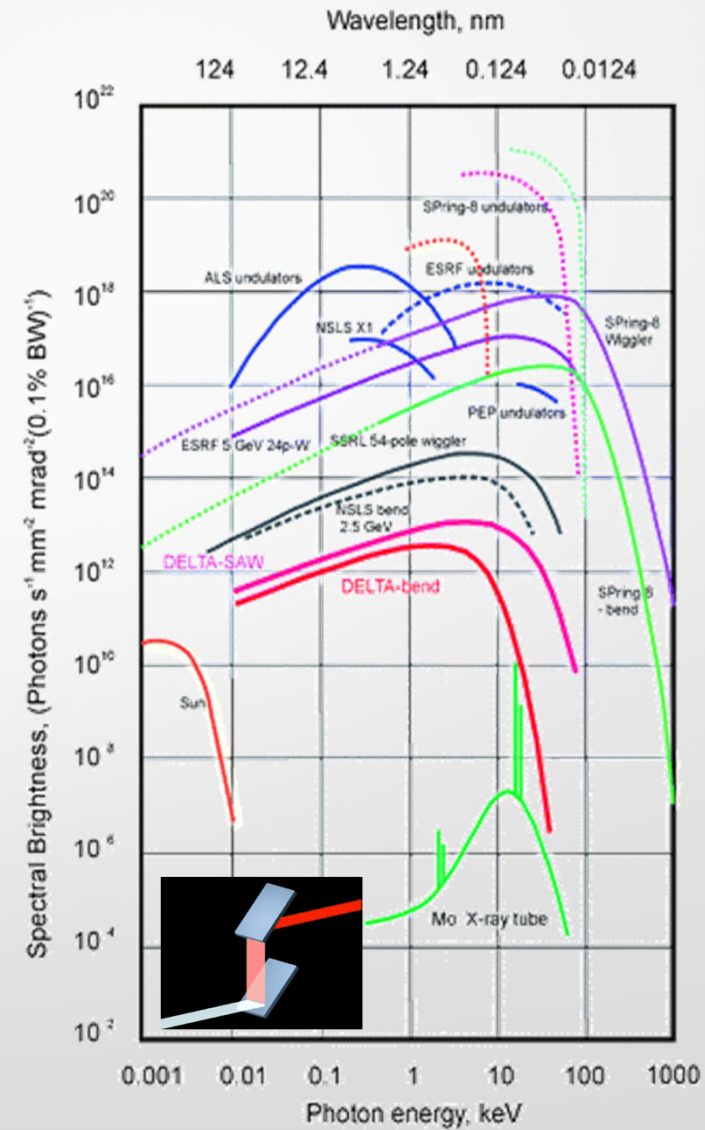
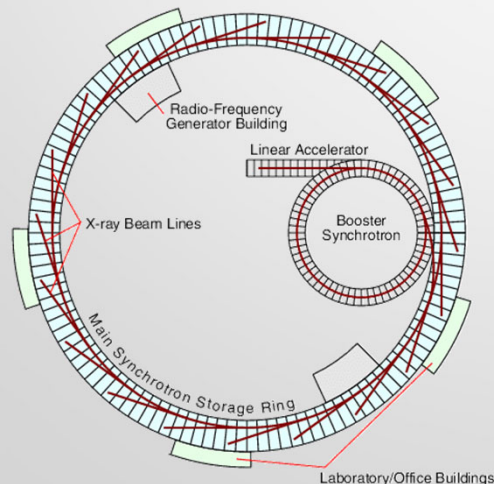
4. TÉCNICAS EXPERIMENTALES

Difracción de rayos X en polvo



4. TÉCNICAS EXPERIMENTALES

Radiación sincrotrón



Difracción de RX en polvo

